

## التحليل الهيدرولوجي لحوض وادي درنة باستخدام نظم المعلومات الجغرافية، دراسة تطبيقية في جغرافية الموارد المائية



This work is licensed under a  
Creative Commons Attribution-  
NonCommercial 4.0  
International License.

ناصر عبدربه فرج البركى

نشر إلكترونياً بتاريخ: ١٥ يناير ٢٠٢٦ م

### ABSTRACT

This paper dealt with the hydrological analysis of the wadi derna basin and the calculation of the volume of runoff formed during rainfall according to data from monitoring stations in the region.

Dry and semi-arid areas are considered among the most vulnerable to surface runoff that occurs due to heavy and heavy rainfall. Thus, slopes and valley streams are exposed to sudden torrential runoff, which results in floods, soil erosion and loss of life.

The study shows the amount of surface runoff associated with rainfall and the risk of floods to the residents of the region, especially with sudden, heavy and intense precipitation over a limited time, as happened in storm Daniel in 2023.

### الملخص

تناولت هذه الورقة التحليل الهيدرولوجي لحوض وادي درنة وحساب حجم الجريان المشكل أثناء التساقط المطري حسب بيانات محطات الرصد بالمنطقة.

تعتبر المناطق الحافة وشبه الحافة من أكثر المناطق عرضة للجريان السطحي الذي يحدث بسبب التساقط المطري الغزير والكثيف وبذلك يتعرض المستحدثات ومجاري الأودية إلى جريان السيول الفجائي مما يترتب عنه حدوث الفيضانات وإنحراف التربة وخسائر في الأرواح والممتلكات.

تم تطبيق بعض المعادلات الرياضية وبعض المماذج في حساب الجريان السطحي لحوض وادي درنة وذلك باستخدام نظم المعلومات الجغرافية GIS في تحليل البيانات الكمية والوصفية ورسم خرائط تفصيلية تخص منطقة الدراسة.

حيث تبين الدراسة كمية الجريان السطحي والمرتبط بالتساقط المطري ومخاطر السيول على سكان المنطقة خاصة مع المطول الفجائي والغزير والكثيف وخلال زمن محدود كما حدث في

العاصفة دانيال عام 2023.

## \* المقدمة

غزيرة فاقت المعدل الطبيعي مما تسبب في جريان السيول عبر مجاري الأودية التي انتهت بحرف بعض المناطق والتي كانت من بينها مدينة درنة التي تقع ضمن حوض تغذية عدة رتب نهرية تتجمع في مجاري حوض وادي درنة متوجهة إلى الشمال لتصب مياه في البحر تتبع في سيرها طبوغرافية الحوض وأنحداره ، مما تسبب في الكثير من الخسائر البشرية و المادية.

### \* مشكلة الدراسة

تسبب الفيضانات في الكثير من الخسائر البشرية والمادية في كثير من أنحاء العالم، لذلك يعتبر تقدير عمق الجريان السطحي و ما قد يسببه من فيضانات محتملة من الممكن أن يقلل من هذه الأضرار، لذلك تمت دراسة حوض وادي درنة عبر المشاريع التي أقيمت في الإقليم منذ منتصف السبعينيات من القرن الماضي ، وبذلك أنشئت وصممت بعض السدود والتي من بينها سدود حوض وادي درنه وفق تلك المعطيات المناحية المسجلة لحساب معدل التساقط .

### \* أهداف الدراسة

نظراً لأهمية منطقة حوض وادي درنة و تأثيره على مدينة درنة كونه يشطر المدينة إلى شطرين وصولاً إلى البحر، تهدف الدراسة من خلال تقدير الجريان السطحي لخوض وادي درنة عبر حساب معدلات كمية الأمطار التي تسقط على الحوض سنوياً ، وبالاعتماد على تقنية نظم المعلومات الجغرافية GIS تمكن من تحقيق اهداف الدراسة بشكل علمي عبر تقديم المقترنات والحلول وفق معطيات الدراسة الميدانية والبيانية لمحطات الرصد العالمية، لارتباطه بالموارد البشرية و الطبيعية في المنطقة و التي يمكن الاستفادة منها في مجال استثمار

يعتبر الجريان السطحي من أهم الموارد المائية خاصة في البيئات الجافة وشبه الجافة، لذلك جأت العديد من الدول إلى استثمار هذا المورد من خلال مشاريع تكفل الاستفادة منه على أكمل وجه من خلال إنشاء السدود لحفظ مياه الامطار أو استخدام تقنيات حصاد المياه كإنشاء الخزانات و الآبار للإقطاعية.

لا تقتصر الغاية من دراسة الجريان السطحي على توفير مياه الشرب وري المزروعات أو تغذية المخزون الجوفي، بل يدرس الجريان السطحي أيضاً بهدف تقدير مستوى خطر الفيضانات المحتملة والتنبؤ بها من خلال دراسة التذبذبات والتباينات في كمية الامطار الساقطة.

فعندما يزيد معدل المطر على المعدل العام قد يؤدي ذلك إلى حدوث سيول وفيضانات تسبب في انحراف التربة وضياعها بالإضافة إلى خسائر في المباني والأرواح، لهذا فإن دراسة الجريان السطحي يدخل ضمن الدراسات المتعلقة بمشاريع التخطيط الحضري و الخدمات العامة لكي يتم تحديد أماكن المشروعات و الخدمات وفق معايير تكفل أمنها من هذه الأخطار.

في ظل التقدم العلمي واستخدام نظم المعلومات الجغرافية G I S في التقنيات المكانية من خلال بيانات الأقمار الصناعية وتحليل الخرائط الطبوغرافية، أصبح بالإمكان صياغة الحلول الرياضية المتعلقة بحساب الجريان السطحي. ان ما حدث لإقليم الجبل الأخضر نتيجة للمنخفض الجوي الذي تكون فوق البحر المتوسط وما صاحبه من أمطار

- ٣- تقدير مناسب لحجم الجريان السطحي للحوض سنويًا .
- ٤- التنبية لخطر الفيضانات للحد من المخاطر الجيولوجية للحوض .

#### \* الدراسات السابقة

ركزت العديد من الدراسات المحلية على الخصائص المورفومترية بسمات الجريان السطحي لبعض أحواض التصريف داخل ليبيا، ومنها دراسة الزمود وافكيرين 2020، استخدمت تقنيات الاستشعار عن بعد، دراسة الضراط 2020م لتقدير حجم الجريان لوادي الكراث بطريق، دراسة الغرياني 2015 م لتقدير الجريان السطحي للحوض التجميعي وادي كعام، الريانى وآخرون 2019 م لدراستهم لحجم الجريان لبعض الأودية في شمال غرب ليبيا، دراسة بن طاهر 2022 م حول أحاطر الفيضانات والسيول بحوض وادي القطرارة .

أجريت بعض الدراسات على منطقة الدراسة (حوض وادي درنة) بواسطة عدة شركات والتي من أهمها شركة Hidroproject اليوغسلافية 1970-1972 تناولت فيها دراسة الظروف الطبيعية لوادي درنة ، والتركيب الجيولوجي و المصادر المائية بالمنطقة ، كما قامت بدراسة تقدير الجريان السطحي لمواجهة الفيضانات المحتملة لذلك تم تصميم سد درنة .

كما قامت شركة STOCKY السويسرية الهندسية سنة 2003 لتقديم مقترنات لإجراء تعديلات تصميمية لسد وادي درنة للمحافظة على السدود من خطر الفيضانات.

المياه السطحية، كذلك الاستفادة عبر زيادة الغطاء النباتي للحد من ظاهرة التصحر والانجراف الكلي للتربة بفعل الفيضانات.

#### \* الفروض (الفرضيات)

- ١- علاقة طبغرافية الحوض بمقدار الجريان السطحي وتدفقه.
- ٢- هل رطوبة التربة وخصائصها الكيميائية تسهم في حركة ومقدار الجريان السطحي.
- ٣- كيف يمكن استخدام التقنيات والدراسات للحد من أحاطر السيول والفيضانات.
- ٤- تصميم السدود الركامية ومدى ملائمتها لمقدار الجريان السطحي.

#### \* منهجية الدراسة

استخدم في هذه الدراسة المنهج العلمي التطبيقي، والوصفي، والتحليلي لبيانات الخرائط الطبوغرافية المتوفرة، كما أدى عدم وجود محطات قياس هيدرومترية على الأودية، ادى إلى الاستعانة ببيانات مطرية من الوكالات الدولية عبر مواقعها الالكترونية لحساب معدلات التساقط والخروج بنتائج تعزز الدراسة، بالإضافة إلى الدور المكتبي والاطلاع على الدراسات السابقة سواء كانت على مستوى افراد او هيئات حكومية.

#### \* اهمية الدراسة

- ١- اعداد وتصميم جداول بيانات لغطاءات الأرض واستعمالها لحوض وادي درنة .
- ٢- بناء قواعد بيانات هيدرولوجية للجريان السطحي للحوض .

## \* جيومورفولوجية الحوض

تبدأ منابع حوض وادي درنة غرب منطقة القبقب عند خط تقسيم المياه بين حوض وادي درنة و حوض وادي الكوف بأودية الميرة ووادي ادبيش و وادي المرطوط و وادي البويرات و وادي الحمر المتفرع منه وادي طاهر و وادي الكرمة الذي ينحدر من الشمال الشرقي غرب قرية ملودة باتجاه الجنوب الشرقي لينحدر باتجاه وادي الجرولة و يخترق هذا الجزء من الحوض مجموعة من الأودية التي تنحدر من الشمال الغربي باتجاه الجنوب الشرقي ، حيث يلتقي وادي بوشعراية بوادي القطممية المنحدر من وادي الشقيقة عند سيدى بولحافيا ، وتلتقي مجموعة من الروافد المنحدرة من الشمال الغربي بالروافد المنحدرة من الغرب لتشكل مجرى وادي بو الضحاك الذي تتفرع منه عدة اودية باتجاه الجنوب اهها وادي سيدى غريب و شمالاً وادي رأس البيضا ، لينحرف مجرى وادي بو الضحاك باتجاه الشمال الشرقي ليعرف مجرى بوادي درنة الذي تتفرع منه مجموعة روافد ، اهها وادي بورويس ويستمر وادي درنة في انحداره باتجاه البحر ليخترق مدينة درنة ويصب في البحر المتوسط شمالاً.

جدول (1) ابعاد حوض وادي درنة

الحوض	المجرى / م	طول	الرأسي	الفارق	زمن الترکيز /س	زمن التصريف /س	سرعة المياه
درنة	78860	854	723.2	4.3	109	3/س	م <sup>3</sup> /س

جدول (1) يبين زمن التصريف بالحوض وهو الفترة الزمنية التي يستغرقها الحوض لصرف اجمالي كمية مياه الأمطار من المنبع وحق المصب ، بينما زمن التركيز في الحوض هي الفترة اللازمة للماء للانتقال من ابعد نقطة تقع على محيط

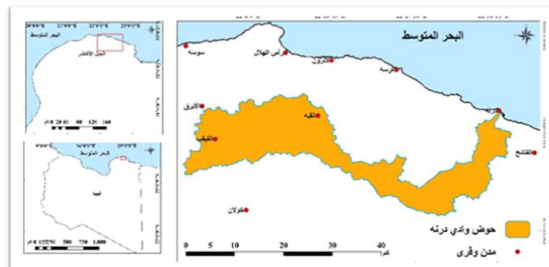
الدراسات التطبيقية، دراسة الأسطلى ومسعود 2015 بواسطة ماذج SMADA حيث قاما بدراسة العلاقة بين تساقط الأمطار و الجريان السطحي و تأثيره على مدينة درنة ، دراسة عبدالعزيز رمضان 2022 تقدير عمق SCS- CN الجريان السطحي لحوض وادي درنة بتقنية نموذج . CN

## \* الموقع الجغرافي لمنطقة الدراسة

حوض وادي درنة من الأحواض الكبيرة في شمال شرق ليبيا (الجزء الشمالي من الجبل الأخضر) وهو يمتد بشكل طولي من الغرب إلى الشرق، ثم يتوجه بمحراه الرئيسي باتجاه الشمال ليصب في البحر عند ميناء درنة .

تقع منطقة حوض وادي درنة بين دائري عرض 21°59'N و 32°34'N كما يقع بين خطى طول 14.3 كم و 235.7 كم وبطول 63.2 كم والعرض 48°E حيث يحده من الغرب منطقتي الأبرق و الفايدية، ويرتفع أقصى منسوب لوادي درنة حوالي 765 م فوق مستوى سطح البحر ، ثم ينحدر في اتجاه الشرق ، ثم يتجه شمالاً إلى مصبها النهائي بالبحر ماراً بوسط مدينة درنة ، يبلغ اجمالي مساحة الحوض 562 كيلو متر مربع تقريراً وبلغ محيطه 14.3 كم . خريطة (1) .

خريطة (1) . الموقع الجغرافي لمنطقة الدراسة .

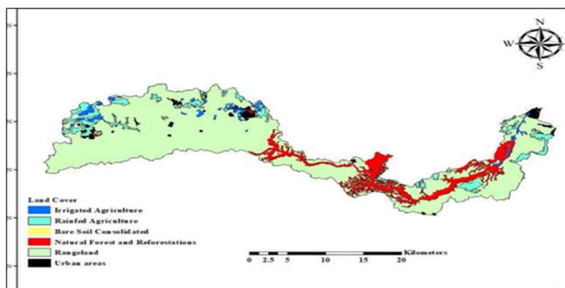


\* المصدر: عبدالونيس عاشر .2022

Land : خريطة الغطاء الأرضي  
cover/Land use (LC/LU )

يشير الغطاء الأرضي إلى جميع الخصائص الطبيعية مثل الغابات والصخور والمراعي والأراضي الزراعية ، إضافة إلى الخصائص البشرية المتمثلة في المناطق الحضرية ، كما أن الغطاء الأرضي يتغير مع مرور الزمن لتغير حاجة الإنسان للأرض ، من خلال خريطة (2) يلاحظ أن الصنف السائد هو صنف المراعي حيث شكل 78.37 % من مساحة الحوض الكلية يليه في الترتيب صنف الغابات الطبيعية والأحراش حيث شكل 10.15 % فيما يشكل صنف الزراعة البعلية 7.27 % أما ما تبقى من مساحة الحوض تمثل في أصناف التربة الجرداء والزراعة المروية والمناطق الحضرية .

خربيطة (2) تبين الغطاء الأرضي بحوض وادي درنة .



المصدر: من عمل الباحث تحليل الصور الجوية باستخدام نظم المعلومات الجغرافية (GIS10.8)

الخوض إلى مخرج الحوض عبر قنوات وشبكة تسمى بالرتب النهرية جدول (2) .

جدول (2) شبكة تصريف وادي درنة

الرتبة	العدد	الطول / كم
الخامسة	1	6.8
الرابعة	50	81.3
الثالثة	54	70.9
الثانية	84	99.4
الأولى	201	222
المجموع	390	481.2

الجدول (3) يبين تصنيف التربة في حوض وادي درنة المستخدم في تحديد المجموعات الميدرولوجية للتربة وفق تصنيف حفظ التربة الأمريكية ، حيث يعتبر التصنيف الدقيق لنسيج التربة من اهم الخصائص التي يجب تحديدها لفهم سلوك التربة من خلال النفاذية ومعدل الترشح وهي عناصر رئيسية لحساب معدل الجريان في أي منطقة .

جدول (3) تصنيف التربة في حوض وادي درنة .

نوع التربة	الأنواع الفرعية للتربيه	مكونات التربة				التصنيف
		الرمز	الرمل %	الطين %	الغرين %	
تربة سليكتية	تربة فرمية مضغوطه	Cs ep	21	54.7	24.3	طيني
تربة مندمجة دائمة	تربة فرمية نموذجية	Cs t	28.5	42	29.5	طيني
تربة مندمجة دائمة	تربة دائمة مندمجة	Dt	18.6	58.6	22.8	طيني
تربة جافة	تربة بنية محمرة	FBd	29.5	29.5	41	طمي طيني
جافة	تربة بنية محمرة قاحلة	FBsd	63.3	14.9	21.8	طمي رملي
جافة	تربة بنية محمرة قاحلة الفاتحة	Fi	23.2	36.9	39.9	طمي طيني
مالحة سبخية	ترب مالحة السبخات المالحة	Sa	36.5	22.9	40.6	طمي

### \* المشكلات التي تُعرض تحليل البيانات المطرية

تواجه الباحثين عدد من العقبات تحول دون وصولهم إلى التحليل الأمثل للبيانات المطرية لمنطقة ما ، فقد تفتقر بيانات محطة إلى فترة زمنية كافية ، فيتم اعتماد محطات المجاورة للتعریض عن النقص .

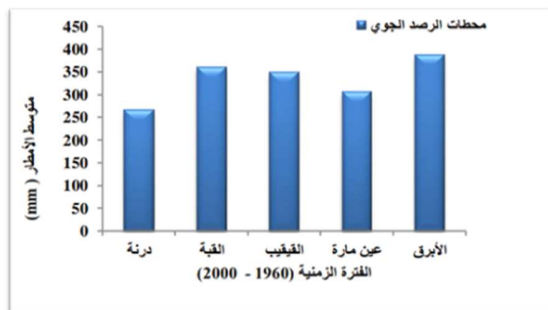
تطلب بعض الأبحاث الميدرولوجية التعبير عن الأمطار نقطية بأمطار مساحية وذلك لتقدير كمية المياه الماطلة على مساحة ما ، ومن ثم معرفة نسبة الأمطار الفعالة لعاصفة ما على نفس تلك المساحة ، وذلك عندما يتم حصر كمية المياه المناسبة في قاعة ذلك الخوض المائي عند نقطة معينة وقسمتها على مجموع الأمطار الساقطة على ذلك الخوض .  
فـ تحتاج بعض الدراسات إلى معرفة ما هو الاتجاه العام للأمطار في منطقة معينة أو معرفة ما هو النمط السائد لسير الأعاصير الماطرة .

### \* تعریض بيانات الأمطار المفقودة

من المتعارف عليه أن فترة 35 سنة هي الفترة الزمنية المثلث لإعطاء فكرة واضحة عن النمط العام لنظام التساقط لأية منطقة .

قد لا تكون بعض المناطق المعنية بالدراسة مغطاة بشكل كافٍ من المحطات المطرية ولمدة 35 سنة ، فنجاً بهذه الحالة إلى معدلات الأمطار في المحطات المجاورة على أن لا يزيد الفارق بين المحطة المقصودة والمحطة المجاورة ذات السجل الكامل عن 10% وقد اقترح ميلر Miller طريقة للتعریض ، ويتم فيها حساب المعدل السنوي للتساقط في المحطات المجاورة خلال 35 سنة ، ثم يقسم هذا المعدل

شكل (1) محطات الرصد في منطقة الدراسة .



جدول (4) شبكة الرصد المطري: Gauge network:

الفترة الزمنية	بعد المحطة عن البحر	ارتفاع المحطة	نوع المحطة	احصائيات محطات الرصد		المحطة
				E	N	
1960 / 2000	10 م	10 م	ارصاد شاملة	22.35	32.47	درنة
/ 1964 1997	9 كم	470 م	قياس امطار	22.23	32.45	عن مارة
/ 1960 2000	12 كم	607 م	قياس امطار	22.15	32.46	القبة
/ 1960 2000	13 كم	658 م	قياس امطار	22.59	32.47	العرق
/ 1965 2000	20 كم	701 م	قياس امطار	22.01	32.43	الققib

من خلال تحليل بيانات شكل (1) وجدول (4) الامطار المسجلة في محطات الرصد تبين ان متوسط الامطار خلال الفترة من سنة 1960 إلى سنة 2000 والتي تساوي اربعين سنة بلغ متوسط الامطار في محطة درنة والقبة والعرق 266.8 ملم و 360.9 ملم و 348.9 ملم على التوالي ، بينما بلغ متوسط الامطار في محطة عن مارة والعرق 306.16 ملم و 387.64 ملم على التوالي .

فكليماً كان عدد المحطات أكبر كلما كانت ممثلة للمنطقة بصورة أفضل ، كما نستطيع استخدام بيانات الأقمار الصناعية وشبكات الرادار حالياً في الحصول على بيانات خاصة في المناطق المأهولة أو التي تتمتع بنشاط اقتصادي مميز.

## ٢- طريقة المضلعات: Thiessen polygons

تمكن هذه الطريقة استخدام بيانات بعض المحطات المجاورة عند استخراج المتوسطات الموزونة، حيث نصل بين المحطات داخل الحوض أو التي تقع على أطرافه بخطوط مستقيمة، ثم ننصف تلك المستقيمات، ونقيم من المنتصف أعمدة تلقي بالأعمدة المنصفة للخطوط الواقلة بين المحطات الأخرى المجاورة، وبهذا تكون قد قسمنا الحوض إلى مضلعات، يقع متصف كل مضلع محطة رصد مطرية.

نقوم بحساب نسبة مساحة كل مضلع من مساحة الحوض الكلي، ثم نضرب معدل التساقط في كل محطة بتلك النسبة، ثم نجمع حاصل الضرب، ويكون الرقم المستخرج متوسط كمية التساقط على حوض الدراسة .

## ٣- طريقة خطوط المطر المتساوي: Isohyetal method

تحتاج هذه الطريقة إلى من أفضل الطرق ولذا تحتاج إلى دقة في رسم خطوط تساوي المطر، وتم هذه الطريقة بحساب المساحة المحصورة بين كل خطين متجاورين، ثم حساب متوسط الأمطار لتلك المساحة بقسمة حاصل جمع قيمة الخطين على أثنتين ثم تضرب هذه المساحات بمتوسطات أمطارها، ثم تجمع حاصل الضرب وتقسم على مجموع مساحة الحوض، ويكون الناتج هو مقدار متوسط الأمطار الموزونة لذلك الحوض.

ويواسطة خطوط المطر المتساوية وتطبيق المعادلة  $y = mx + b$  نستطيع الحصول أيضا على متوسط الأمطار الموزونة للحوض.

على المعدل العام للتساقط لنفس المحطة ، ثم يضرب الناتج بمعدل التساقط السنوي للمحطة ذات السجل الناقص، ويكون الناتج هو معدل التساقط السنوي لتلك المحطة . حسن ابو سعور، حامد الخطيب، جغرافية الموارد المائية ، ص 61 .

وستستخدم طريقة أخرى، يتم الاعتماد فيها على خطوط تساوي المطر isohyets حيث يتم رسم خطوط المطر المتساوية، اعتماداً على قيم التساقط في محطات مجاورة، ومن خلال الرسم يتم تقدير كمية الأمطار في أي محطة تحتاج إلى تقدير كمية التساقط فيها خلال نفس الفترة .

\*تقدير كمية الأمطار الساقطة على مساحة الحوض المائي  
تحتاج في الدراسات الميدرولوجية إلى حساب كمية الأمطار التي تسقط على منطقة الدراسة، وذلك بتحويلها من بيانات نقطية point rainfall إلى بيانات مساحية Arial rainfall لتمثل الكميات التي تغطي على المنطقة كل وليس على المحطة بعينها .

وتتبع عدة سبل لإنجاز تلك العملية والتي من بينها ما يلي:

### ١- المتوسطات الرياضية: Arithmetic mean

تعد هذه الطريقة أسهل الطرق، وتستخدم في الحالات التي تكون المنطقة المعنية بالدراسة منطقة سهلية قليلة التضرس، أو ضمن المناطق التي تتميز بكثافة شبكة الرصد المطري، وتحصر هذه الطريقة بجمع كميات الأمطار أو بجمع معدلات الأمطار لجميع المحطات وقسمة الناتج على عدد المحطات.

جدول (6) حساب بيانات خطوط المطر المتساوي لمنطقة الدراسة.

Sub	Area/Km <sup>2</sup>	Pmm	A*P
A	214	225	48150
B	262	275	72050
C	503	325	163475
D	382	375	143250
$\Sigma$ sum	1361	1200	426925

$$313\text{mm} = 426925/1361 \text{P}\ddot{X} =$$

جدول (7) . تصنيف الحالة المسبقة لرطوبة التربة AMC.

الموسم الرطب growing season	الموسم الجاف dormant season	تصنيف AMC-mm
اقل من 35.6	اقل من 12.7	I
53.3 - 35.6	27.9 - 12.7	II
اكبر من 53.3	اكبر من 27.9	II

من خلال تحليل عناصر التصنيف يشير (AMC)

(I) إلى أدنى احتمالية للجريان السطحي لأن التربة حافة بدرجة كافية ، ويشير AMC(II) إلى متوسط حالة رطوبة التربة ويشير معدل التصنيف AMC(III) إلى أعلى إمكانات الجريان السطحي للتربة ، وهو ما يحدث عمليا عندما تكون مناطق مستجمعات المياه مشبعة بالأمطار السابقة ، نظراً لأن قيمة CN لاستخدام الأراضي المحصصة وفقاً لجدول الزراعة الأمريكية، يتم تطبيقها فقط على AMC-II المتمثلة في المعادلة التالية: -

$$Q = (p - 0.25)^2 / p + 0.85$$

$$S = 25400 / cn - 254$$

$$Cn_w = \sum cn_i * A_i / A$$

$$CN_i = 4.2 * cn_{II} / 10 - (0.058 * cn_{II})$$

نحسب خط المطر المتساوي الذي يمثل أعلى قيمة، ونحسب أيضا طول خط المطر المتساوي الذي يمثل أقل قيمة، وبمعرفة الفاصل ما بين أعلى قيمة وأقل قيمة فأنا نحصل على المتوسط الموزون للتساقط على الحوض لمنطقة الدراسة.

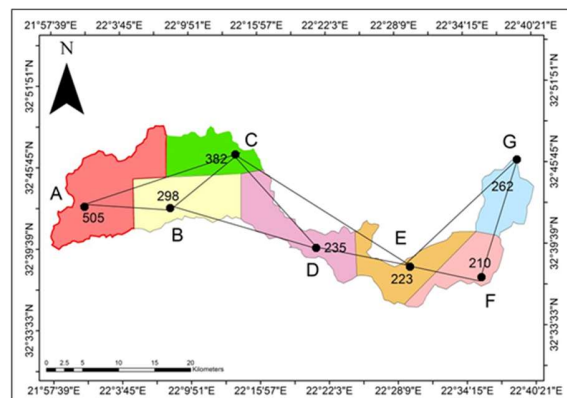
جدول (5) بيانات المحطات المطرية لمنطقة الدراسة.

Sub	Area/Km <sup>2</sup>	Pmm	A*P
A	133	305	40565
B	95	298	28310
C	66	382	25212
D	88	235	20680
E	72	223	16056
F	54	210	11340
G	55	262	14410
$\Sigma$ sum	563 km <sup>2</sup>	1815	156573

$$563 = 278\text{mm.} / 156573 \text{.P}\ddot{X} = \times A / P$$

$$A\Sigma = P\ddot{X}$$

خرائط (3) تقسيم الحوض بطريقة ثيسن المضلعات



المصدر: من عمل الباحث باستخدام نظم المعلومات الجغرافية (GIS10.8).

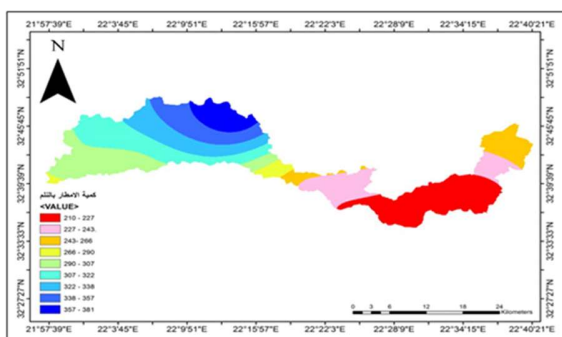
الميدرولوجية للتربة Hydrologic Soil Groups ولكل منها صفاتها الخاصة، فالفتان A و D تمثلان حدين متطرفين بالنسبة لنشوء الجريان السطحي إذ تمثل A جريان سطحي منخفض و D جريان سطحي عالي وأما الفتان B و C فتمثل حالتين متوسطتين بالنسبة لنشوء الجريان السطحي . جدول(8).

جدول (8) المجموعات الميدرولوجية المائية وفق تصنيف SCS-

CN

الترية	عمق الجريان	صنف
تحتوي تربة المجموعة A على أقل من 10% من الطين وأكثر من 90% من الرمل أو الخصى وها قوام من الخصى أو الرمل	قليل	A
عادية ما تحتوي تربة المجموعة B على ما بين 10% إلى 20% من الطين و 50% إلى 90% من الرمل وها قوام رملي طيني	متوسط	B
طبقة طينية محدودة العمق مع معدل ارتياح دون المتوسط أو طبقة صخرية مغطاة بطبقة من التربة	فوق المتوسط	C
تحتوي تربة المجموعة D عادة على ما بين 20% و 40% من الطين وأقل من 50% من الرمل وها قوام طيني رملي	عالي	D

خرائط (4) توزيع النطاقات المطيرية لمنطقة الدراسة.



المصدر: اعداد الباحث باستخدام نظم المعلومات الجغرافية GIS10.8 .

$$Cn_{IIl} = 23 * cn_{II} / 10 + (0.13 * cn_{II})$$

$$V = Q \times A / 1000$$

حيث أن: -

$$mm = عمق الجريان السطحي Q$$

$$mm = كمية الأمطار الساقطة P$$

$$mm = التجمع السطحي بعد بداية الجريان السطحي S$$

$$m^2 = حجم الجريان السطحي V$$

$$m^2 = مساحة الحوض A$$

قيم CN هي انعكاس حالة غطاءات الأرض و هيدرولوجية التربة و ذلك من خلال قدرتها على امتصاص الماء وهي مؤشر لدى استجابة الحوض للجريان السطحي ، حيث تتراوح قيم CN بين (0-100) فقيمة CN المرتفعة تدل على الأسطح المنخفضة النفاذية و هي الأسطح التي لا تسمح للمياه بالمرور من خلالها ، وهذه الأسطح هي القادرة على نشوء الجريان السطحي ، أما القيم المنخفضة فتدل على الأسطح العالية النفاذية ، والتي من خلالها تتسرب المياه إلى داخل التربة و هي بذلك تنخفض قدرتها على توليد الجريان السطحي ، وبين الحدين المتطرفين قيمة 0 وقيمة 100 تقع القيمة الوسطى 50 والتي تعبر عن الأسطح متوسطة النفاذية ، ولذلك فإن قيم CN تتحسب من خلال تحديد العوامل التي تؤثر فيها و هي نوع التربة السائدة .

حددت طريقة SCS-CN أربعة أنواع من الترب وهي محددة وفقاً لسرعة المياه في داخل التربة -A- كل فئة من هذه الترب لها مدخل رقمي يعبر عن حالة التربة هيدرولوجياً، وقد سميت المجموعات

نوع الخسائر	سنة الفيضان	التصنيف من حيث الشدة
خسائر بشرية ومادية	1942	فيضان ضخم
خسائر بشرية ومادية	1959	فيضان هائل
لم تحدث خسائر	1968	فيضان متوسط الشدة
خسائر مادية فقط	1986	فيضان ضخم
لم تحدث خسائر	1911	فيضان متوسط
اقتلاع نصف المدينة ووفيات بألاف	2023	فيضان مدمر

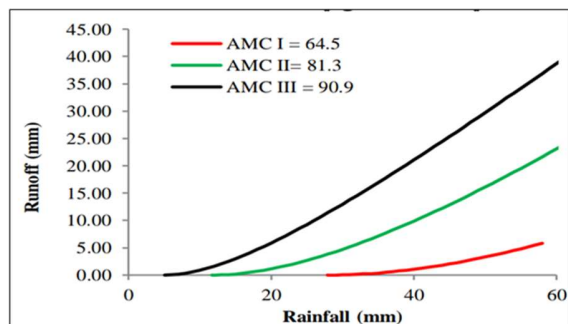
من المعروف انه في معظم مناطق العالم تحدث فيها ظاهرة الفيضانات والتي عادة ما تكون اثناء التساقط المطري الغزير وفي مدة زمنية تسمى شدة الترکز المطري ، ورغم ذلك تتفاوت شدة الفيضانات واثرها على المنطقة حسب طبيعة ومناخ الاقليم حيث تتأثر المناطق الجافة وشبه الجافة وشبه الرطبة اكثراً من غيرها من المناطق ذات المناخ الرطب والممطر. وهنا نجد ان ثلث فيضانات حدثت في حوض وادي درنة كانت خلال الفصل المطري وهي شهور سبتمبر ونوفمبر وتستمر إلى شهر يناير .

#### \* الخلاصة والتوصيات

تناولت هذه الورقة التحليل الهيدرولوجي في حوض وادي درنة بواسطة تقنيات نظم المعلومات الجغرافية من خلال تطبيق بعض النماذج الرياضية وذلك تبعاً للقطاعات الأرضية وجموعات الترب الهيدرولوجية، وكذلك قيم الأمطار المسجلة في محطات الرصد العالمية .

من خلال بيانات محطات الرصد في منطقة الدارسة وبتطبيق معادلة Thiessen وهي احدى الطرق الرياضية

شكل (2) المنحنى الموزون لرطوبة التربة بمنطقة الدراسة.



المصدر: اعداد الباحث باستخدام نظم المعلومات الجغرافية GIS10.8).

من خلال الشكل(2) ان الامطار التي تحدث جريان سطحي مختلف حسب حالة رطوبة التربة المسبقة ، ففي حالة التربة الجافة يجب ان تكون قيمة التساقط اكبر من 27.94 ملم حتى يحدث جريان سطحي ، وفي الحالة الاعتيادية لرطوبة التربة في منطقة الحوض يحدث الجريان السطحي اذا كانت قيمة التساقط المطري 11.72 ملم اما في الحالة الرطبة يحدث الجريان السطحي عند قيمة 5.1 ملم .

#### \* الفيضانات في منطقة الدراسة

حدثت العديد من الفيضانات في منطقة الجبل الأخضر ككل والتي تعتبر منطقة الدراسة جزءاً منه ، حيث تتكون طبوغرافية الاقليم من عدة احواض وعلىه تم التركيز هنا على فيضانات التي حدثت في حوض وادي درنة وادت إلى خسائر بشرية ومادية جسيمة ، جدول (9) :

بلغ حجم الجريان السطحي الناتج عن أعلى عاصفة مطرية سجلت في الحوض قيمة 53.36 مليون متر مكعب في اليوم أي ما نسبته 40% من حجم الجريان السطحي السنوي.

ان الوضع القائم في حوض وادي درنة يحتم على الجهات المسؤولة اتخاذ إجراءات عملية كصيانة السدود القائمة وبشكل دوري، كذلك ايجاد وسيلة لزيادة الغطاء النباتي للمحافظة على تماسك التربة من الانحراف والحد من التصحر القائم، كما ننوه إلى وجود المساكن في مجاري الوادي الأمر الذي يتطلب توعية الناس بخطورة الفيضانات.

#### \* المراجع

##### اولاً- المراجع العربية

الغرياني، مباركة سعد، 2015 . توظيف نظم المعلومات الجغرافية لتقدير الجريان السطحي لوادي كعام، المؤتمر الدولي الأول للتقنيات الجيومكانية، طرابلس، ليبيا.

الرياني، عبد الرحمن احمد المدي، عبدالحكيم مسعود — خماج، احمد ابراهيم 2019. تقدير حجم الجريان السطحي لبعض احواض الأودية في شمال غرب ليبيا، المجلة الليبية للعلوم الزراعية، المجلد 24، العدد الأول .

الفيتوري، علي — لشهب، سعد فرج ،2011 . الخصائص المورفومترية و الهيدرولوجية لحوضي وادي درنة و وادي مرقص، شمال شرق ليبيا، دراسة تطبيقية مقارنة، مجلة جامعة سرت، العدد الثاني 440 .

لتقدير كمية الأمطار الساقطة على مساحة معينة وهي بتحويل البيانات النقاطية إلى بيانات مساحية تمثل كمية المطرول وقد استخدمت طريقة المضلوعات وفق المعادلة  $\sum A^*P/A = \bar{X}P$  تبين ان المتوسط الحسابي لمنطقة الدراسة 278 ملم .

وبواسطة حساب منطقة الدراسة بواسطة خطوط المطر المتساوية.

هي من ادق الطرق لحساب كمية التساقط في المناطق الغير متحانسة والتي يكون فيها التعرض شديد وبتطبيق نفس المعادلة تبين ان كمية التساقط قد بلغت 313 ملم .

وبذلك فان معدل التساقط السنوي على حوض وادي درنة يكون ما بين (270 / 300) ملي متر سنوياً وذلك حسب ما افضت إليه الدراسة وذلك بالاعتماد على البيانات وفق البيانات المطرية لكمية التساقط والعواصف المطرية التي احتجحت منطقة الدراسة .

تم الحصول على قيمة CN<sub>w</sub> لحوض الدراسة باعتبار أن الحالة المسبقة لرطوبة التربة هي الحالة المعتدلة ، حيث بلغ قيمة 81.30 وهذا يعني أن سطح الحوض يميل نحو إنتاج جريان سطحي لقيم الأمطار الأكبر من 11.72mm .

كما تشير الورقة إلى ان حجم الجريان السطحي السنوي في الحوض استناداً إلى متوسط هطول الأمطار لفترة الرصد (1960-2000) بلغ 138.51 مليون متر مكعب في السنة ، وهذا يؤكّد وجود كمية كبيرة من مياه الجريان السطحي في أوقات وفرة الامطار وأنّها ذات قيمة هيدرولوجية إذ تم استغلالها بالشكل الأمثل .

transactions on advances in space research and earth exploration

(ASREE)3.january.2015

philip B. Bedient and wayne C. Huber,  
Hydrology and floodplain Analysis, Third Edition  
(prentice Hall,2002)

Strahler, A. Quantitative geomorphology of drainage basins and channel networks. In; chow VT (ed) Handbook of applied hydrology. (New York: mc graw-Hill,1964.

<https://power.larc.nasa.gov/data.access.viewer>

الطراط، علا جابر، 2020، التقييم الكمي للجريان السطحي في وادي الكراث طبرق شمال شرق ليبيا: دراسة هييدرومورفومترية، مجلة جامعة صبراتة العلمية، المجلد الرابع، العدد الثاني 5 —

عاشور، عبدالونيس عبدالعزيز، 2022. تقدير عمق الجريان السطحي لخوض وادي درنة بالتكامل بين نظم المعلومات الجغرافية ونموذج SCS-CN ، مجلة جامعة سوها للعلوم البحتة والتطبيقية.

حسن ابو سعور، حامد الخطيب، جغرافية الموارد المائية، الطبعة الأولى 1999، دار صفاء للنشر والتوزيع، عمان.

بن عمران. سالم فوزي سالم ،2021، التحليل الهيدروموري لخوض وادي درنة باستخدام الاستشعار عن بعد ونظم المعلومات الجغرافية، رسالة ماجستير جامعة الاسكندرية.

الحنفي. محمد غازي، سعيد ادريس نوح، المتوسط المكافئ للهطول المطري والتقدير الكمي للتساقط على خوض الجبل الأخضر، مركز البحوث الزراعية الليبي.

ثانياً- المراجع الأجنبية

clarke,j.l..morphometry from maps.  
Essays in geomorphology,  
(New York:Elsevier publ.co,1966)

Dhawasker pk, morphometric analysis of mhadei river basin using SRTM Data and GiS, the slj